

snímek 1

## Chromatografické metody

---

---

---

---

---

---

snímek 2

## Podstata

*„Při chromatografii dochází k neustálému vytváření rovnovážných stavů separované látky mezi dvě fáze – stacionární a mobilní.“*

---

---

---

---

---

---

snímek 3

## Chromatografie

- Mobilní fáze - kapalina – LC  
plyn – GC
- Eluce - Izokratická – stejná eluční síla  
Gradientová – rostoucí eluční síla
- Použití - analytická  
preparativní

---

---

---

---

---

---

snímek 4

Kapalinová chromatografie  
LC|

- Mobilní fáze - kapalina
- Stacionární fáze - pevná fáze,  
kapalina

---

---

---

---

---

---

snímek 5

Provedení LC

- Papírová PC
- Tenkovrstvá TLC
- Kolonová CC

---

---

---

---

---

---

snímek 6

Teoretické aspekty  
chromatografie

---

---

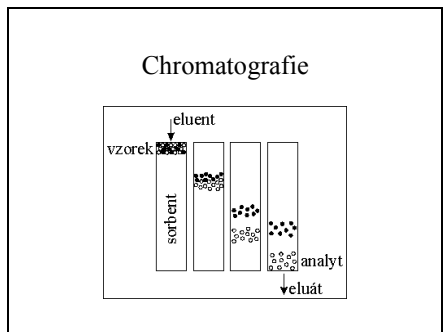
---

---

---

---

snímek 7



---

---

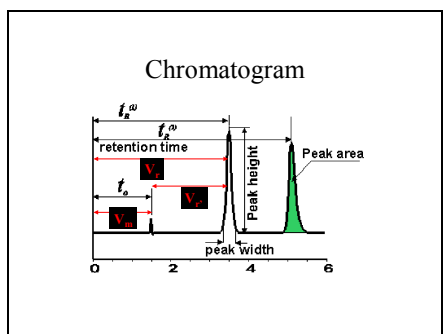
---

---

---

---

snímek 8



---

---

---

---

---

---

snímek 9

Retenční – eluční čas  $t_r$

- Doba od nástřiku vzorku po dosažení maxima eluční křuvky

Retenční – eluční objem  $V_r$

- Objem mobilní fáze proteklý od nástřiku vzorku po dosažení maxima eluční křuvky

$$V_r = t \cdot F_m$$

$F_m$  – objemová rychlosť mobilnej fáze

---

---

---

---

---

---

snímek 10

Mrtvý objem

$$V_t = V_n + V_s$$

$V_r$  – zdánlivý retenční objem

$V_r$ - redukovaný (skutečný) retenční objem

$V_m$ - mrtvý objem – mimokolonové příspěvky  
+ mimočásticový objem kolony

---

---

---

---

---

---

snímek 11

Kapacitní faktor  $k'$

$$k' = \frac{V_r - V_n}{V_n} = \frac{V_r}{V_n} = K_D \cdot \frac{V_s}{V_M}$$

$V_s$  – objem stacionární fáze  
 $V_M$  – objem mobilní fáze

$$\text{Distribuční koeficient} \quad K_D = \frac{c_s}{c_M}$$

$c_s$  – rovnovážná koncentrace látky ve stacionární fázi  
 $c_M$  – rovnovážná koncentrace látky ve mobilní fázi

---

---

---

---

---

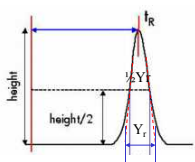
---

snímek 12

Účinnost kolony  
počet teoretických pater  $N$

$$N = 16 \cdot \left( \frac{t}{Y} \right)^2$$

$$N = 5.545 \cdot \left( \frac{t}{1/2 Y} \right)^2$$



---

---

---

---

---

---

snímek 13

Účinnost kolony  
výškový ekvivalent teoretického  
patra H

$$H = \frac{N}{l}$$

l – délka kolony

---

---

---

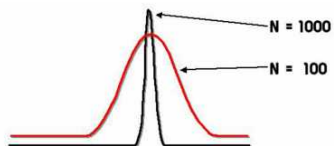
---

---

---

snímek 14

Účinnost kolony



---

---

---

---

---

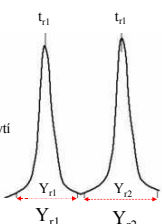
---

snímek 15

Rozlišení

$$R_{12} = \frac{2(t_2 - t_1)}{Y_1 + Y_2}$$

R<sub>12</sub>=1.5 – nulové překrytí  
R<sub>12</sub>=1.0 – pěkrytí 2 %



---

---

---

---

---

---

snímek 16

### Síly a efekty využívané při separaci

- Iontové síly
- Polární síly
- Nepolární síly
- Sterické interakce
- Efekt velikosti molekul

---

---

---

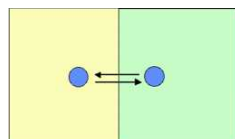
---

---

---

snímek 17

### Rozdělovací chromatografie



---

---

---

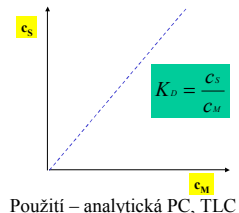
---

---

---

snímek 18

### Rozdělovací chromatografie



Použití – analytická PC, TLC

---

---

---

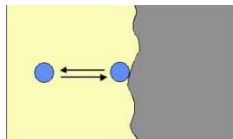
---

---

---

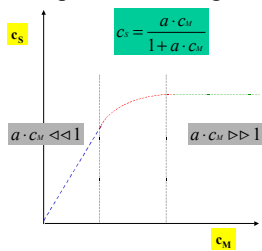
snímek 19

Adsorpční chromatografie



snímek 20

Adsorpční chromatografie



snímek 21

Adsorpční chromatografie

- Stacionární fáze – polární

Silikagel  $\text{SiO}_2 \cdot n \text{H}_2\text{O}$

Oxid hlinitý  $\text{Al}_2\text{O}_3$ ,  $\text{AlO(OH)}$ ,  $\text{Al(OH)}_3$

Hydroxyapatit  $[\text{Ca}_5(\text{PO}_4)_3\text{OH}]$

snímek 22

### Adsorpční chromatografie

- Mobilní fáze – nepolární
- Eluce - zvyšováním polarity mobilní fáze

Eluotropická řada:  
uhlovodíky < subst. uhlovodíky < ketony <  
aldehydy < alkoholy < voda

---

---

---

---

---

---

snímek 23

### Reverzně fázová chromatografie

- Stacionární fáze – nepolární  
 $C_8, C_{18}$   

- Mobilní fáze – polární – vodné roztoky  
 $pH \rightarrow$  potlačit disociaci
- Eluce – snižováním polarity mobilní fáze  
ACN, MeOH,

---

---

---

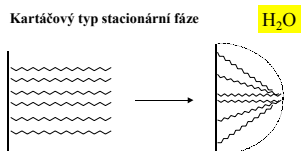
---

---

---

snímek 24

### Reverzně fázová chromatografie



Použití : analytické – až 90 % analýz

---

---

---

---

---

---

snímek 25

### Iontově párová chromatografie



+ - SDS,  $\text{HClO}_4$   
- - tetrabutylamonium

---

---

---

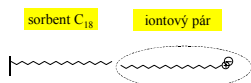
---

---

---

snímek 26

### Iontově párová chromatografie



Stacionární, mobilní faze, eluce – RPC  
 $\text{pH} \rightarrow$  plná ionizace analytu

---

---

---

---

---

---

snímek 27

### Hydrofobní chromatografie

- Stacionární fáze - - C<sub>8</sub>, -fenyl
- Mobilní fáze – vodné roztoky  
 $1.7 \text{ M } (\text{NH}_4)_2\text{SO}_4$
- Eluce – snižováním iontové síly

Použití : purifikace bílkovin

---

---

---

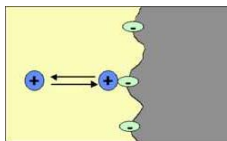
---

---

---

snímek 28

### Ionexová chromatografie



---

---

---

---

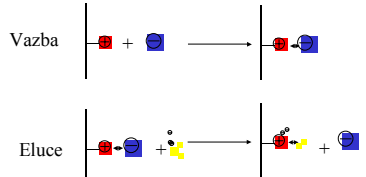
---

---

snímek 29

### Ionexová chromatografie

elektrostatická interakce



---

---

---

---

---

---

snímek 30

### Ionexy

- Katexy - - vazba kationtů  
silné - sulfo(S), sulfopropyl(SP)  $\text{OSO}_3^-$   
slabé - karboxy(C), karboxymetyl(CM)  $\text{COO}^-$
- Anexy - + vazba aniontů  
silné - diethylaminoetyl(DEAE)  
slabé – triethylaminoetyl(TEAE)

---

---

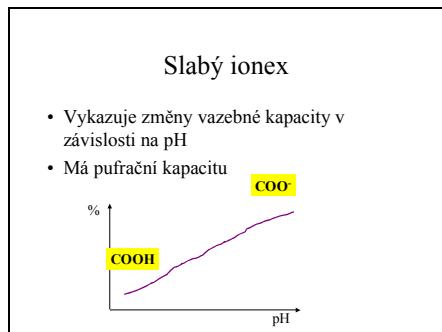
---

---

---

---

snímek 31



---

---

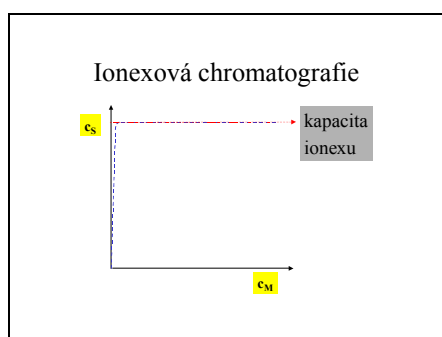
---

---

---

---

snímek 32



---

---

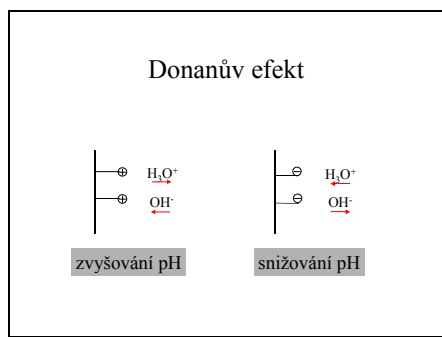
---

---

---

---

snímek 33



---

---

---

---

---

---

snímek 34

## Ionexová chromatografie

- Nanášení vzorku – nízká iontová síla
  - Eluce – gradientová
    - Zvyšováním iontové síly
    - Změnu pH
    - Afinitní eluce

Použití – purifikace, zakoncentrování, výměna  
pufru

---

---

---

---

---

---

---

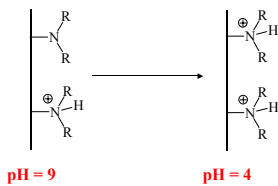
---

---

---

snímek 35

## Chromatofokusace děj na koloně



---

---

---

---

---

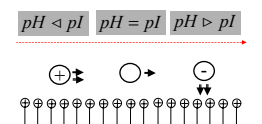
---

---

---

snímek 36

Chromatofokusace  
chování vzorku



---

---

---

---

---

---

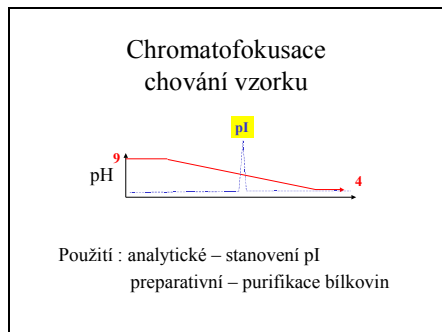
---

---

---

---

snímek 37



---

---

---

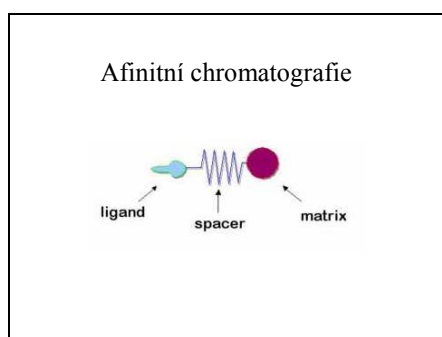
---

---

---

---

snímek 38



---

---

---

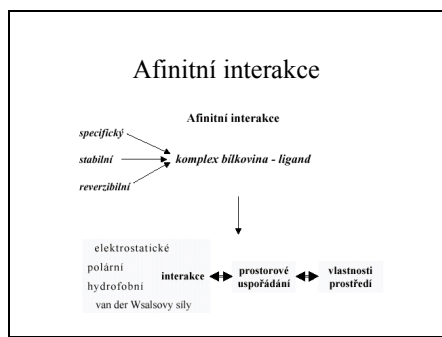
---

---

---

---

snímek 39



---

---

---

---

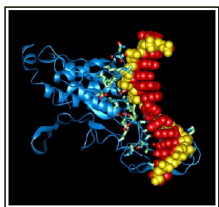
---

---

---

snímek 40

### Interakce mezi DNA a endonukleasou



snímek 41

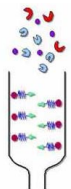
### Afinitní páry

| Ligand        | Bílkovina              | $K_D$ (M)            |
|---------------|------------------------|----------------------|
| antigen       | polyklonální protitělo | $10^3 - 10^{10}$     |
| antigen       | monoklonální protitělo | $10^{-12} - 10^{-8}$ |
| biotin        | avidin                 | $10^{15}$            |
| sacharid      | lektil                 | $10^6 - 10^{-3}$     |
| hormon, toxin | vazebný protein        | $10^{-9} - 10^{-12}$ |
| substrát      | enzym                  | $10^7 - 10^{-3}$     |
| inhibitor     | enzym                  | $10^{14} - 10^{-6}$  |

$K_D = 10^{-8} - 10^{-6}$  M

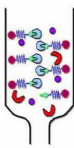
snímek 42

### Afinitní chromatografie nanesení vzorku



snímek 43

Afinitní chromatografie  
vznik interakce



---

---

---

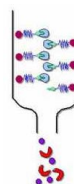
---

---

---

snímek 44

Afinitní chromatografie  
vymýtí balastů



---

---

---

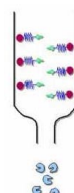
---

---

---

snímek 45

Afinitní chromatografie  
eluce



---

---

---

---

---

---

snímek 46

### Předpoklady pro vznik komplexu

- Sterické – použití raménka (spacer)



- Optimální pH, iontová síla

---

---

---

---

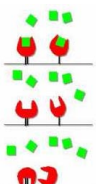
---

---

snímek 47

### Předpoklady pro vznik komplexu

- Vazebné



- Konformační

---

---

---

---

---

---

snímek 48

### Provedení

- Nanesení vzorku – nízká iontová síla
- Eluce – selektivní - volným ligandem
  - neselektivní - změna pH, iontové síly, polarity

Použití : analytické (stanovení K), purifikace

---

---

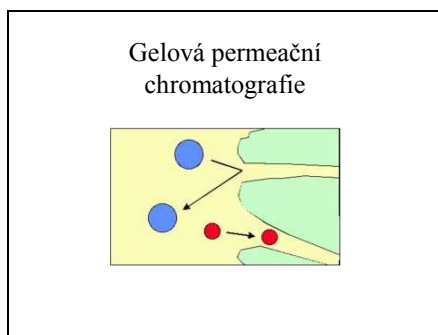
---

---

---

---

snímek 49



---

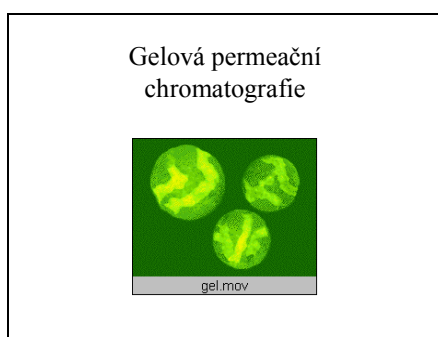
---

---

---

---

snímek 50



---

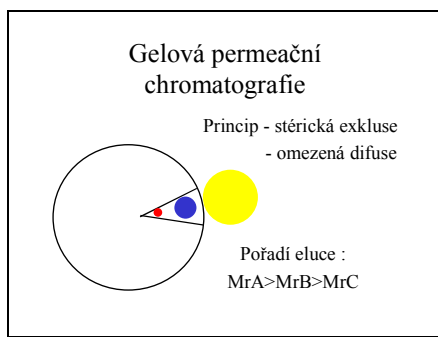
---

---

---

---

snímek 51



---

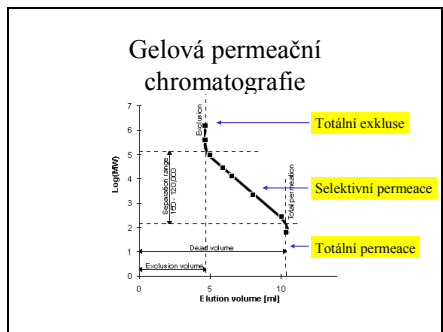
---

---

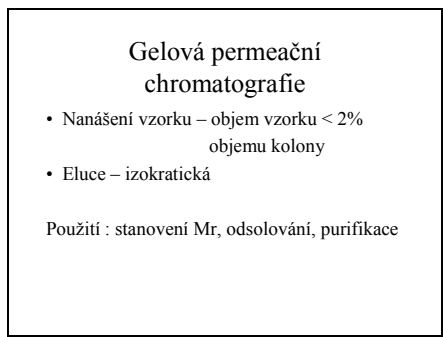
---

---

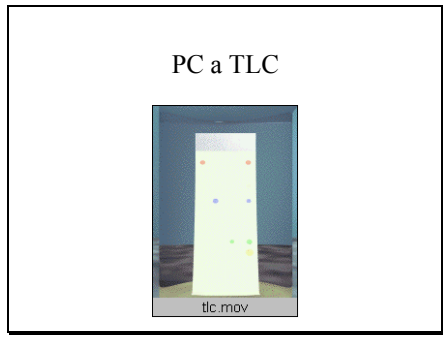
snímek 52



snímek 53



snímek 54



snímek 55

### PC a TLC

- 1944 – Martin, Snyge - PC aminokyselin  
(Nobelova cena)
- 1952 – TLC nahrazuje PC

---

---

---

---

---

---

snímek 56

### Instrumentace PC a TLC

---

---

---

---

---

---

snímek 57

### Chromatografický papír

- Nemodifikovaný
  - Modifikovaný – ionexy, acylace
- f. Watman (Anglie)  
Schleicher-Schüll (Německo)

---

---

---

---

---

---

snímek 58

### TLC

- Vlastní příprava - sypané, nalévané
- Komerčně dostupné - Siluful (Cz)  
Watman

---

---

---

---

---

---

---

snímek 59

### PC a TLC - mody

- rozdělovací
- adsorpční
- ionexová
- hydrofobní – RP a HIC
- gelová permeační

---

---

---

---

---

---

---

snímek 60

### Nanášení vzorku

- Pipety
- Kapiláry

---

---

---

---

---

---

---

snímek 61

Provedení

- Vzestupné
- Sestupné
- Kruhové
- Dvojrozměrné

---

---

---

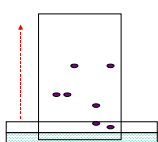
---

---

---

snímek 62

Vzestupné



---

---

---

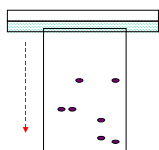
---

---

---

snímek 63

Sestupné



---

---

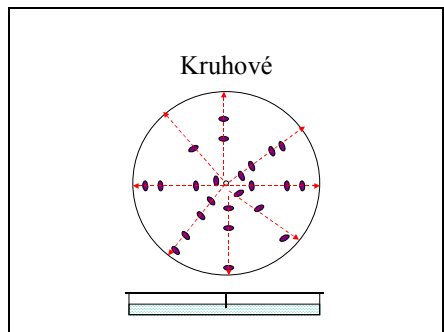
---

---

---

---

snímek 64



---

---

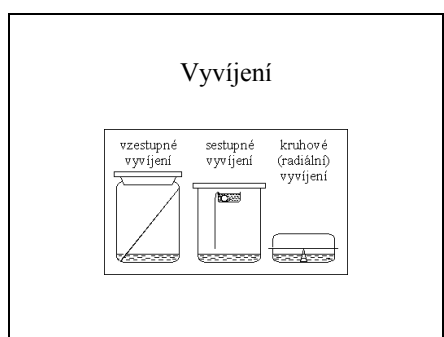
---

---

---

---

snímek 65



---

---

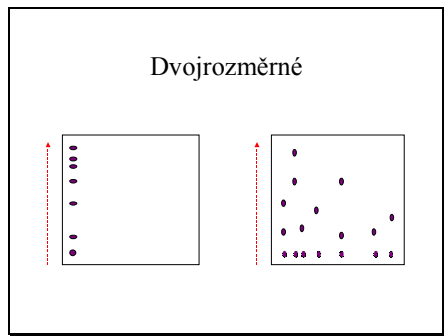
---

---

---

---

snímek 66



---

---

---

---

---

---

snímek 67

Provedení

- Analytické
- Preparativní

---

---

---

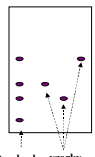
---

---

---

snímek 68

Analýza kvalitativní


$$R_f = \frac{\text{střed skvrn}}{\text{číslo rozpočetadla}}$$

---

---

---

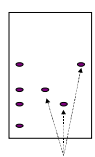
---

---

---

snímek 69

Analýza kvantitativní



- Planimetrie
- Denzitometrie

---

---

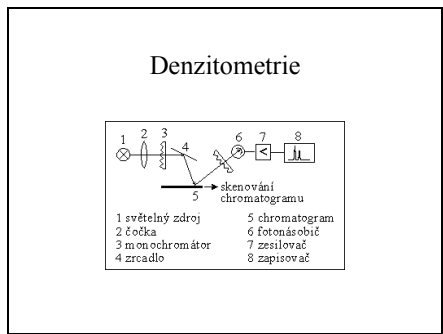
---

---

---

---

snímek 70



---

---

---

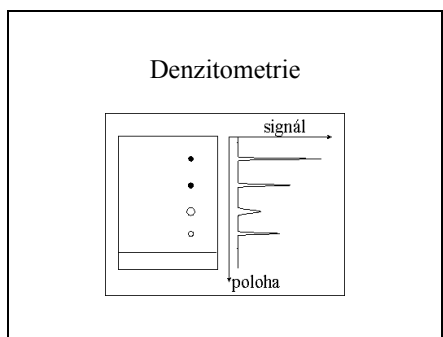
---

---

---

---

snímek 71



---

---

---

---

---

---

---

snímek 72

- Preparace**
- PC – vyštřízení a eluce skvrny
  - TLC – vyškrábání a eluce skvrny
    - odsání a eluce skvrny

---

---

---

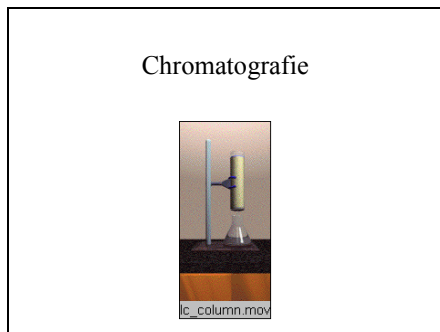
---

---

---

---

snímek 73



---

---

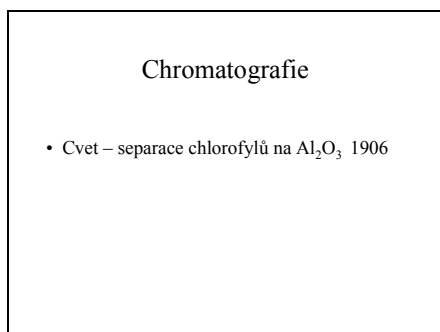
---

---

---

---

snímek 74



---

---

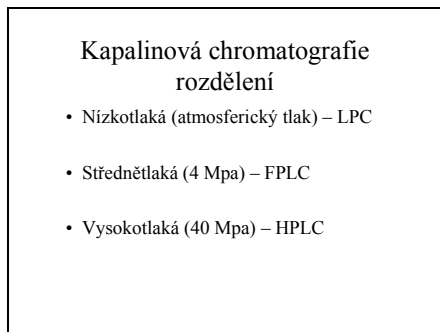
---

---

---

---

snímek 75



---

---

---

---

---

---

snímek 76

### Kapalinová chromatografie využití

- LPC – semipreparativní
- FPLC – semipreparativní a analytická
- HPLC – analytická

---

---

---

---

---

---

snímek 77

### Kapalinová chromatografie doba trvání

- LPC – hodiny
- FPLC – desítky minut
- HPLC – minuty

---

---

---

---

---

---

snímek 78

### Zařízení pro LPC



---

---

---

---

---

---

snímek 79

### Instrumentace pro LPC

- Pumpa – peristaltická nebo gravitace
- Gradient – mísič gradientu
- Dávkování – přímo pumpou na kolonu
- Kolony – skleněné
- Detekce – spektrofotometrická 254, 280 nm
- Vyhodnocování – zapisovač
- Sběrač frakcí – programovatelný

---

---

---

---

---

---

---

snímek 80

### Instrumentace pro FPLC a HPLC

---

---

---

---

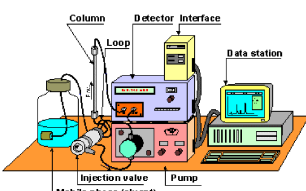
---

---

---

snímek 81

### Zařízení pro HPLC



---

---

---

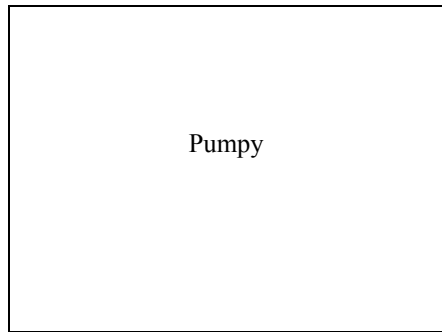
---

---

---

---

snímek 82



---

---

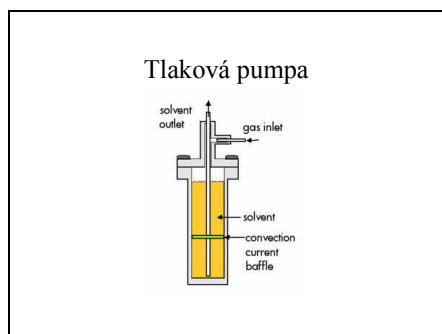
---

---

---

---

snímek 83



---

---

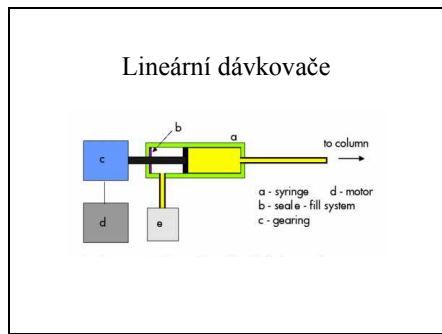
---

---

---

---

snímek 84



---

---

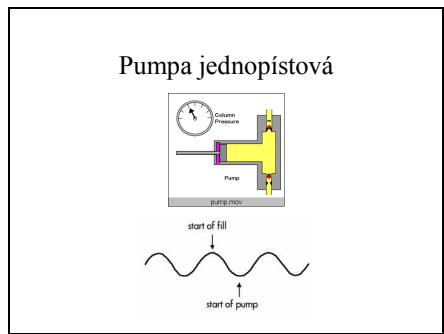
---

---

---

---

snímek 85



---

---

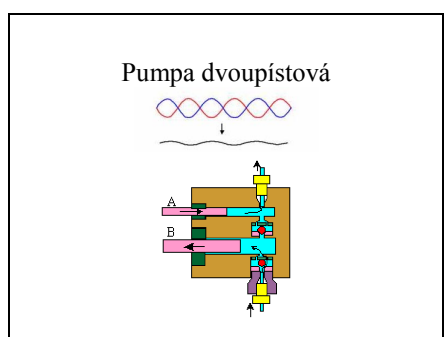
---

---

---

---

snímek 86



---

---

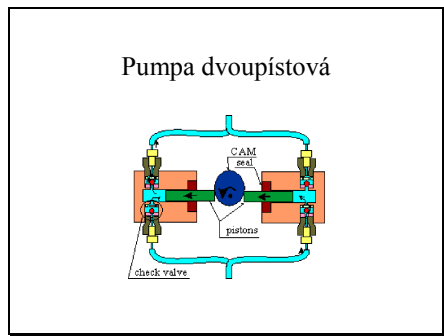
---

---

---

---

snímek 87



---

---

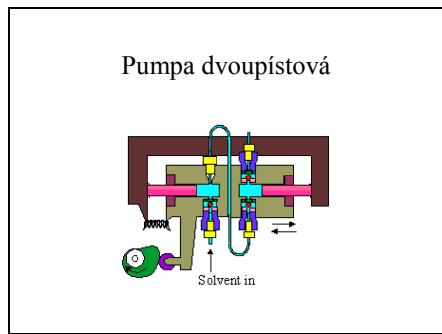
---

---

---

---

snímek 88



---

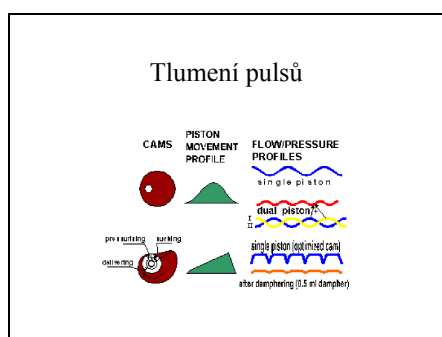
---

---

---

---

snímek 89



---

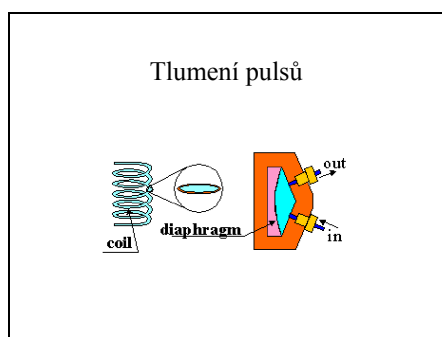
---

---

---

---

snímek 90



---

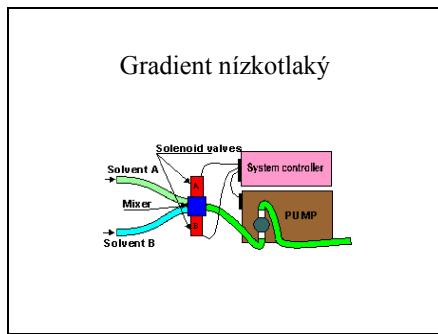
---

---

---

---

snímek 91



---

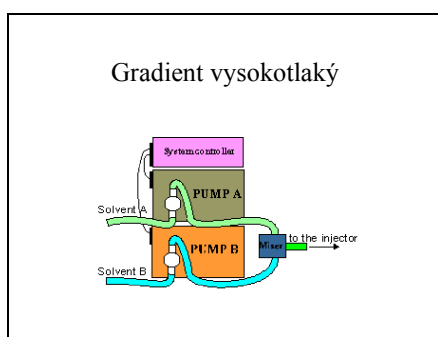
---

---

---

---

snímek 92



---

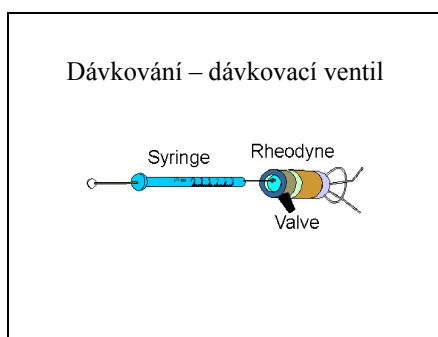
---

---

---

---

snímek 93



---

---

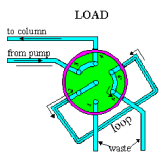
---

---

---

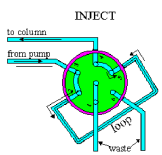
snímek 94

Dávkovací ventil – „Load“



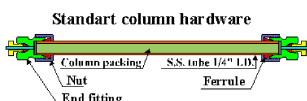
snímek 95

Dávkovací ventil – „Inject“

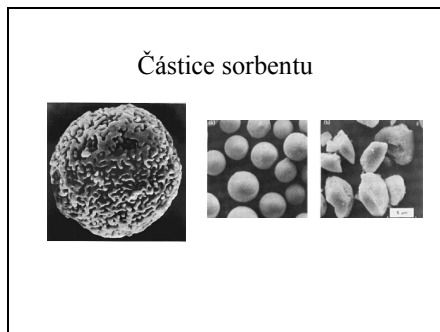


snímek 96

Kolona



snímek 97



---

---

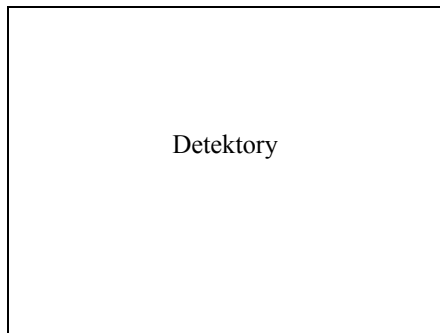
---

---

---

---

snímek 98



---

---

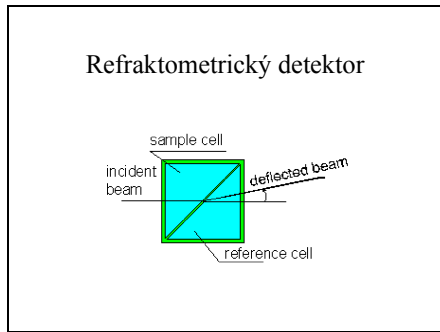
---

---

---

---

snímek 99



---

---

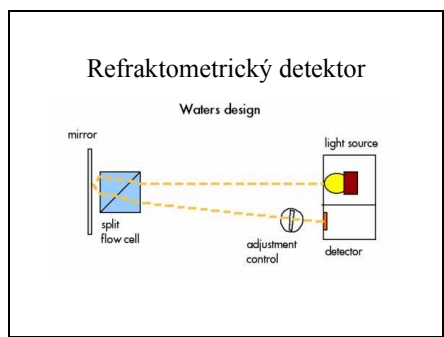
---

---

---

---

snímek 100



---

---

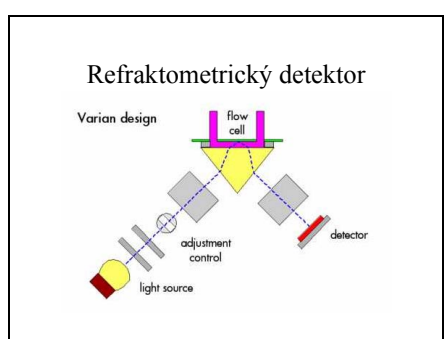
---

---

---

---

snímek 101



---

---

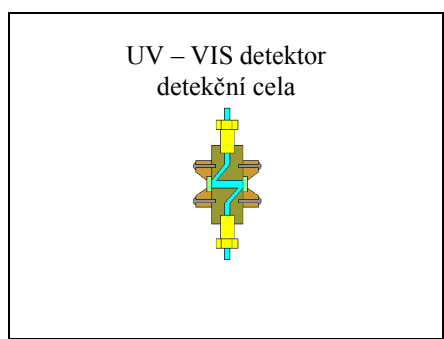
---

---

---

---

snímek 102



---

---

---

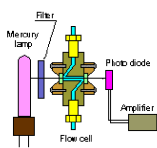
---

---

---

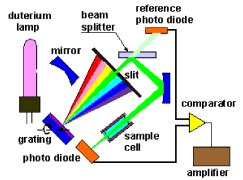
snímek 103

UV – VIS detektor  
s fixní vlnovou délkou



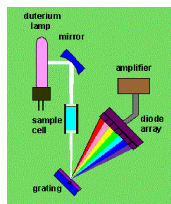
snímek 104

UV – VIS detektor  
s proměnlivou vlnovou délkou

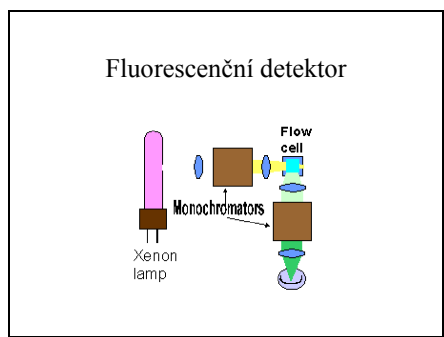


snímek 105

UV – VIS detektor  
s diodovým polem



snímek 106



---

---

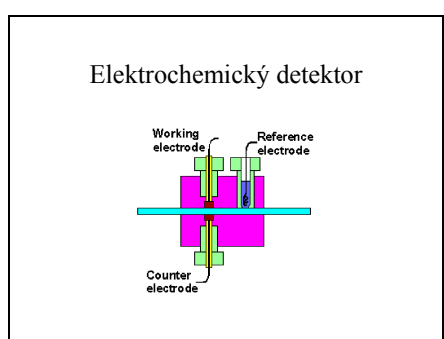
---

---

---

---

snímek 107



---

---

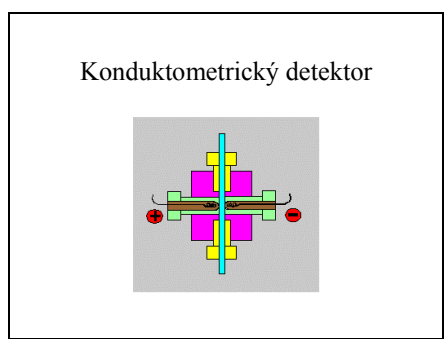
---

---

---

---

snímek 108



---

---

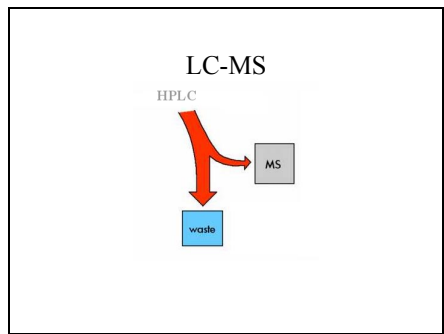
---

---

---

---

snímek 109



---

---

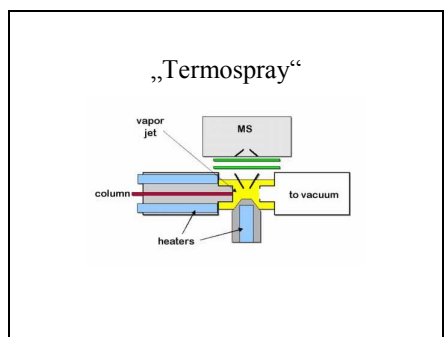
---

---

---

---

snímek 110



---

---

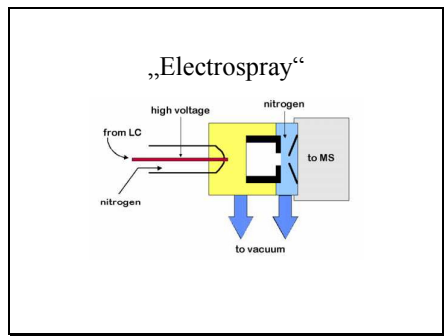
---

---

---

---

snímek 111



---

---

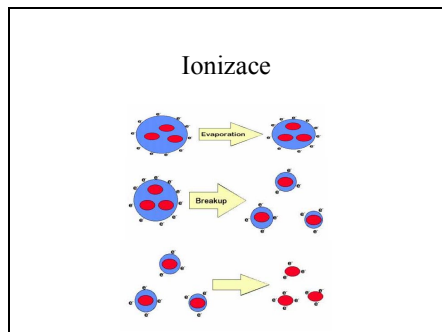
---

---

---

---

snímek 112



---

---

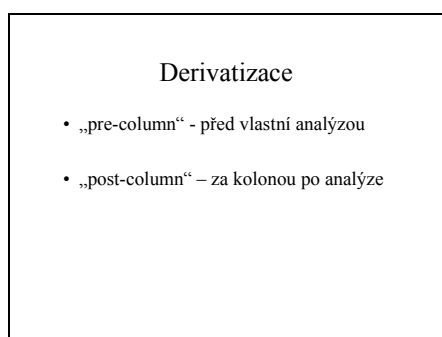
---

---

---

---

snímek 113



---

---

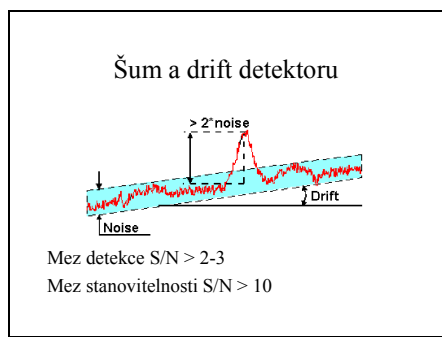
---

---

---

---

snímek 114



---

---

---

---

---

---

snímek 115

### Vyhodnocení

- Zapisovače
- Integratory
- Integrační software + PC

---

---

---

---

---

---

snímek 116

### Provedení

- Analytické
- Preparativní

---

---

---

---

---

---

snímek 117

### Analýza kvalitativní

- Srovnání retenčních časů (objemů) piků u vzorku a standardů
- „spiking“ – přidání standardu do vzoru → nárůst výšky piků
- Specifická detekce – UV-VIS, fluorescence, elektrochemická
- MS

---

---

---

---

---

---

snímek 118

Analýza kvantitativní

↓  
Plocha (výška) píku

- Metoda externího standardu
- Metoda vnitřního standardu
- Metoda standardního přidavku

---

---

---

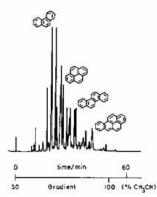
---

---

---

snímek 119

LC analýza



---

---

---

---

---

---